

دراسة عددية لنظام هينون ذي الأبعاد العالية

أفحطان عدنان حميد¹ و²حسن عبد الله سلطان

¹تقسم المكننة الزراعية/ كلية الزراعة

²تقسم الفيزياء / كلية التربية

جامعة البصرة / البصرة / العراق

ISSN -1817 -2695

((الاستلام 2011/3/8، القبول 2011/5/8))

ملخص :

هذا البحث يمثل دراسة عددية لنظام هينون معمم للبرهنة على حصول تصرفات حركية مختلفة باستعمال السلاسل الزمنية و الجاذبات و أطيف القدرة للمتغير الأساس في النظام . أكدت النتائج المستحصلة ولادة أنواع جديدة من الجاذبات عدم استقرارية. **الكلمات المفتاحية :** تحويل هينون ، نظام هينون معمم ، الجاذبات ، أطيف القدرة.

المقدمة :

الحقيقي على الرغم من إن دراسة أنظمة الإبعاد الواطئة لا تقود بالضرورة أو لا تمتد إلى الأنظمة ذات الإبعاد العديدة التي تمتاز بأنها تختلف ، و أحيانا تكون ابسط بالمقارنة . إنموذج هينون أو تحويل هينون الأصلي يكتب على شكل [1]

$$X_{i+1} = y_i + 1 - aX_i^2 \text{-----(1a)}$$

$$Y_{i+1} = bX_i \text{----- (1b)}$$

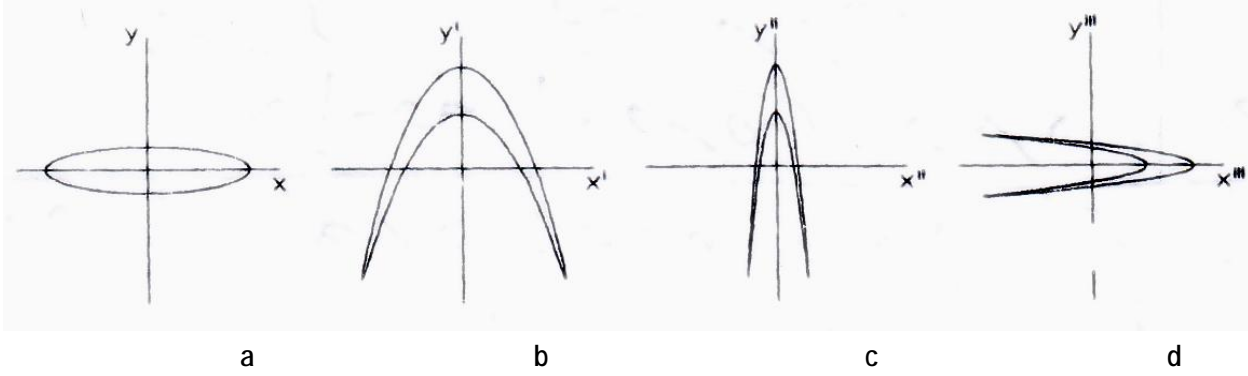
a, b ثابتان

وننتج هذا الأنموذج من تصور اهليج أفقي مساحته a يتحول بواسطة عملية رياضية T إلى b ثم إلى c وأخيراً إلى d عن طريق عمليتين اخرتين T و T كما هو موضح في الشكل (1).

في سنة 1976 أضاف هينون Henon جاذب جديد [1] (أخذ أسمه من الباحث نفسه) الى ماكان معروفا من جاذبات لغاية ذلك الوقت [2] . يقصد بالجاذب علاقة ترسم في بعدين بين متغيرين مترابطين أو في ثلاثة أبعاد بين متغيرات النظام قيد الدراسة.

ففي حالة الليزر يمكن رسم العلاقة بين تغير المجال الكهرومغناطيسي مع الزمن و تغير استقطاب الوسط أو فرق التعداد مع الزمن وفي حالة البندول هنالك علاقات مترابطة بين كل من الإزاحة و السرعة و التعجيلالخ.

جاذب هينون Henon attractor أو تحويل هينون Henon map ذي بعدين وان تصرف التحويلات الفوضوية ذات الإبعاد الواطئة Low dimensional (أقل من ثلاثة) تم التعرف لها ودراستها بكثافة [3] لذلك فأن الاهتمام تحول ألان (خلال العشر سنوات الأخيرة) إلى الأنظمة المعقدة ذات الإبعاد العديدة High dimensional التي تقترب من العالم



شكل (1) مساحة ابتدائية a تتحول عن طريق T إلى b ثم إلى c عن طريق T و إلى d عن

$$T = T''' T'' T' \text{ حيث } T$$

الانموذج في الدراسة الحالية :

إنموذج هينون الأصلي أعطى تصرفات معقدة لقيمتي b, a بمقدار $1.4, 0.3$ على التوالي .
الانموذج في المعادلة رقم (2) لم يحظى بدراسة عددية مفصلة لدراسة اثر كل من مقدار التأخير d او قيمتي كل من b, a

بعد دراسات مستفيضة استمرت لغاية 2008 [4-9] ظهر تحسين على الانموذج الأصلي لـ هينون من قبل Sprott [10] حيث تم تحويل الانموذج من بعدين إلى ابعاد غير محدودة عن طريق إضافة تأخير d delay مما أدى بالانموذج لان يكتب على شكل [10]

$$Xi = 1 - aXi^2 - 1 \quad (d) \quad -d \dots \dots (2)$$

النتائج:

استندت عملية استخراج النتائج إلى البرمجة بلغة matlab إذ يتم حل النظام (2) بالاعتماد على طريقة Runge-Kutta العددية ذات المرتبة الرابعة المعروفة لكل قيمة من قيم التأخير d (1-10) ثم اختيار قيم كل من a لتتغير من (0.1-2) بواقع 7 قيم مختلفة و 5 قيم للثابت b تتراوح بين (1.0 و 5.0) ولجميع هذه القيم فقد تم اختيار قيم ابتدائية واحدة. وكتابة برنامج خاص لحساب طيف القدرة أذ تم استخراج التصرف الزمني لـ Xn و تم ترسم الجاذب وطيف القدرة بطريقة تحويل فورير السريع (FFT) Fast Fourier Transform . وكالاتي:

عندما $d=1$ يكون لدينا تحويل يكافئ تحويلا منطقيا ذو مرتبة واحدة One dimensional logistic map ومع ذلك فإن النتائج في الشكل (2) تشير إلى إمكانية حصول البسيط (تعقد حالته الفوضوية بزيادة قيمتي a و b).

حركات تبدأ بتردد منفرد وتستمر كذلك بوجود جاذب يشبه جاذب هينون .
أما عندما $d=2$ فالتحويل هو تحويل هينون ذو البعدين إذ يزداد عدد الترددات الحاصلة في التصرفات .
وعندما $d=3$ فإن الحركات تتعقد ويتطور الجاذب ليشبه جاذب هينون تقريبا كما في الشكل (3) . لكن عندما $d=4$ تنبسط الجاذبات و الترددات كثيرا كما موضح في الشكل (4). وعند $d=5$ تعود الحركات تتعقد على شكل جاذب شبيه بجاذب هينون وحركات زمنية معقدة وطيف قدرة يوحى بوجود حالات فوضوية كما في الشكل (5) . الجاذب معقد ويكاد لا يشبه جاذب هينون على الرغم من تناقص عدد الترددات كما موضح ذلك من طيف القدرة . كما يلاحظ أن النظام يتجه الى البسيط (تعقد حالته الفوضوية بزيادة قيمتي a و b).

عندما $d=1$ يكون لدينا تحويل يكافئ تحويلا منطقيا ذو مرتبة واحدة One dimensional logistic map ومع ذلك فإن النتائج في الشكل (2) تشير إلى إمكانية حصول

عندما $d=9$ يستعيد جاذب هينون التصرف الفوضوي الذي كان يظهره كما في $d=5$ و $d=7$ كما في الشكل (9) ثم تبدأ الحركات بالتعقد كثيرا بظهور جاذبات معقدة جدا وظهور حالات فوضوية .

وعندما $d=10$ تمتاز الحركات بغزارتها كما يتضح ذلك في الشكل (10) فهناك مختلف الجاذبات الشبيهة بجاذب هينون وجاذبات أخرى بسيطة وأخرى معقدة كما تمتاز الترددات بتنوعها .

عندما $d=6$ تظهر الإبعاد الكسورية في الجاذبات كما في شكل (6) مع ظهور جاذبات جديدة . كما يلاحظ أن النظام هنا تصبح حركياته أكثر تبسيطا".

أما عندما $d=7$ فإن التصرفات لاتزال معقدة معقدة مع ظهور جاذب هينون مرة أخرى وحالة من الفوضى وتمتاز الجاذبات بظهور الإبعاد الكسورية كما في الشكل (7). ويكون شكل النظام مشابهاً لذلك الذي حدث عند $d=5$ اذ يتجه الى التبسيط.

وعندما $d=8$ تصبح الحركات أبسط كما في الشكل (8) كما يظهر جاذب الحلقة المنفردة أو **limit cycle** (المقدار المقيد).

المناقشة :

المسارات و كثرتها و تحول الجاذب أحيانا الى جاذب أشبه بجاذب أو جاذبات **Rosler** المتنوعة . ان عملية زيادة ابعاد تحويل هينون قادت إلى حركات جديدة مختلفة حيث نتجت عنها جاذبات جديدة بسيطة وأخرى معقدة. إن أطياف القدرة توحي بإمكانية

النتائج المستحصلة تؤكد بان نظام هينون لازال صامدا ولم ينهار بل العكس على الرغم من زيادة أبعاده بشكل كبير نسبيا مع ذلك هنالك مديات محدودة للثوابت الظاهرة من الانموذج (a,b) اظهر فيها الانموذج تصرفات جديدة .

وقد أعطت النتائج جاذبات هينون جديدة تشبه المعروفة لكنها تتمتع بتفاصيل في حالة الكسوريات و تراحم أن يتصرف النظام بحالة من الفوضى العارمة.

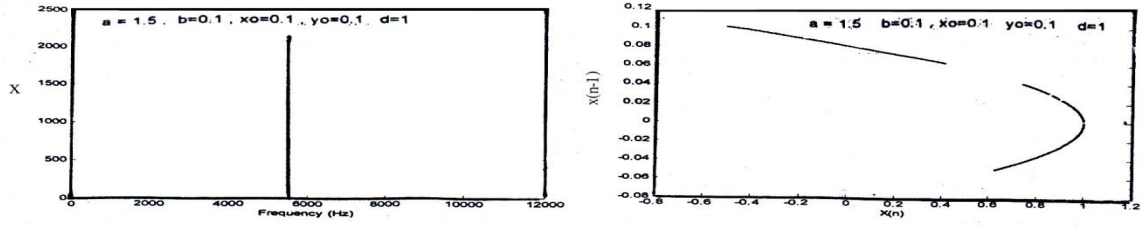
References

- 1-M.Henon, A two-dimensional mapping Commun with a strange attractor, Math . Phys. 50, 69-77 (1976).
- 2- "Bifurcation theory and applications in eds.O.Gurel and scientific disciplines" O.E. Rossler, V-316, New York Academy of New York (1979) . Sciences ,
- 3- J.C.Sprott , Chaos and time-series analysis , Oxford University press , Oxford (2003).
- 4- B.Banhelyi and T.Csendes , A verified computational technique to locate chaotic regions of Henon systems , 6th Int . conf: Appli . Infor (1-8) eger ,Hungary, Jan . 27-31 (2004).
- 5- Lect . 13-The Henon map: dynamical systems and chaos, 56-59 Website and open them with "chaos for java (2005).

قائمة المصادر

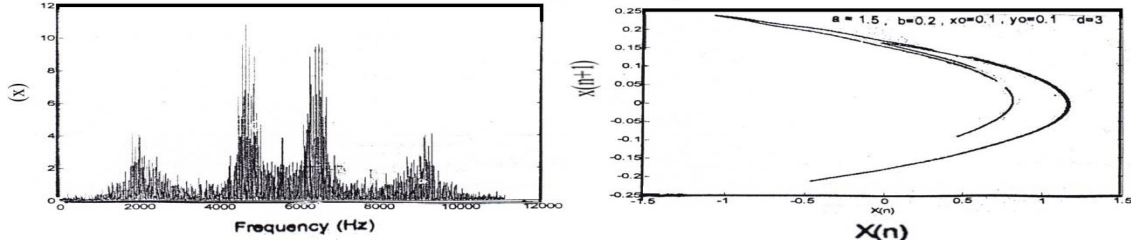
- 6- J.M.Tchuenche, N.S.Mbare and P.O.K.Aiyelo 35,1729 – 1731 , Int.Math.For.,no (2006).
- 7- Invariant set for Henon map <http://sci.tech-archive.net/Archive/sci.math/2007-05/msg03451.html>.
- 8- J.M. Seoane , S.Zambrano and M.A.F.Sanjuan,Teaching nonlinear dynamics and chaos for beginners , Lat. Am .J . phys .Educ . 2 , 205 – 211 (2008).
- 9- A.S.de Paula and M.A. Savi , A multiparameter chaos control method applied to maps . Braz.J. physics , 38 , 536 – 542 (2008).
- 10-J.C.Sprott , High – dimensional dynamics in the delayed Henon map, E J T P , 3 , 19 – 35 (2006) Electronic J.theoretical physics.

$a=1.5, b=0.1, d=1$



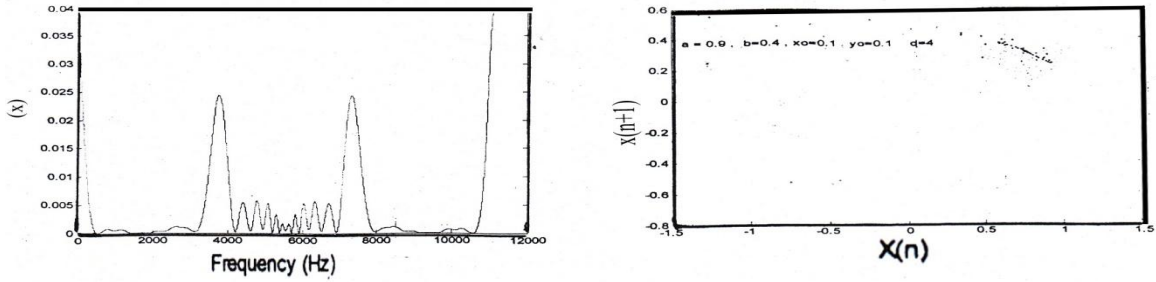
شكل رقم (2) جاذبات وطيف قدرة عندما $a=1.5, b=0.1, d=1$

$a=1.5, b=0.2, d=3$



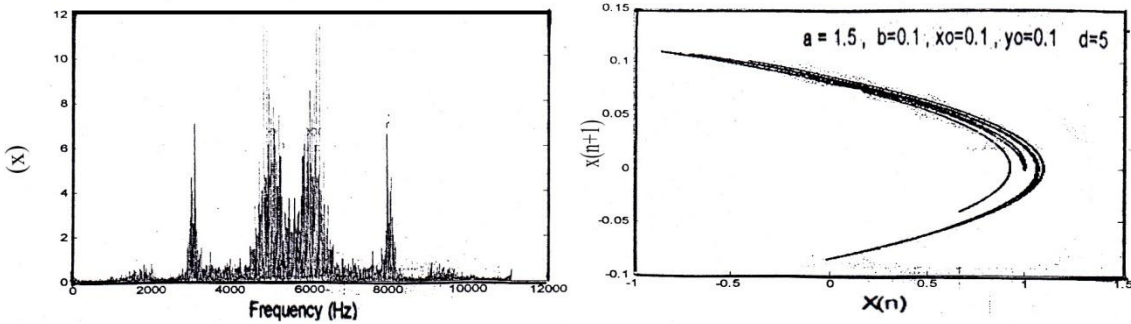
شكل رقم (3) جاذبات وطيف قدرة عندما $a=1.2, b=0.3, d=3$

$a=0.9, b=0.4, d=4$



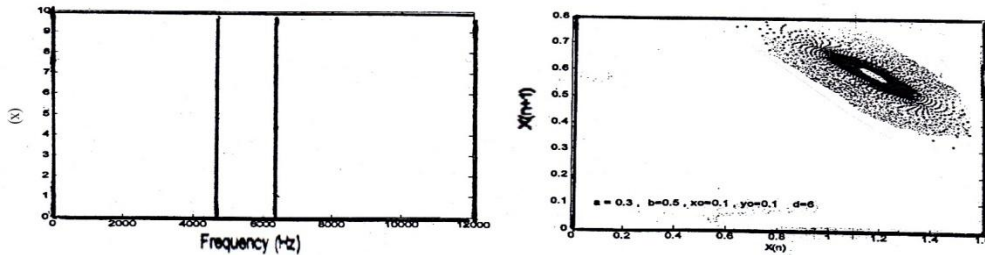
شكل رقم (4) جاذبات وطيف قدرة عندما $a=0.9, b=0.4, d=4$

$a=1.5, b=0.1, d=5$



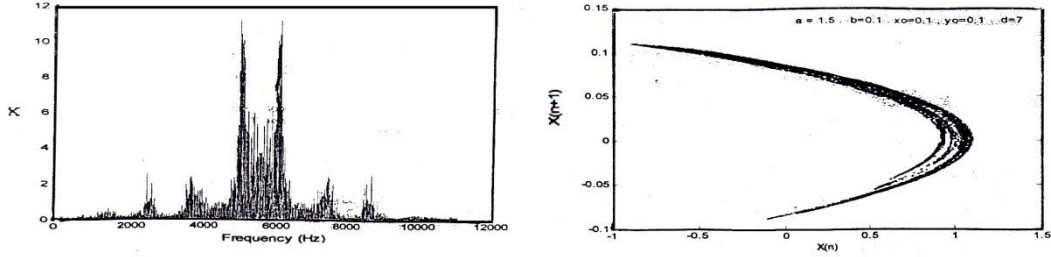
شكل رقم (5) جاذبات وطيف قدرة عندما $a=1.5, b=0.1, d=5$

$a=0.3, b=0.5, d=6$



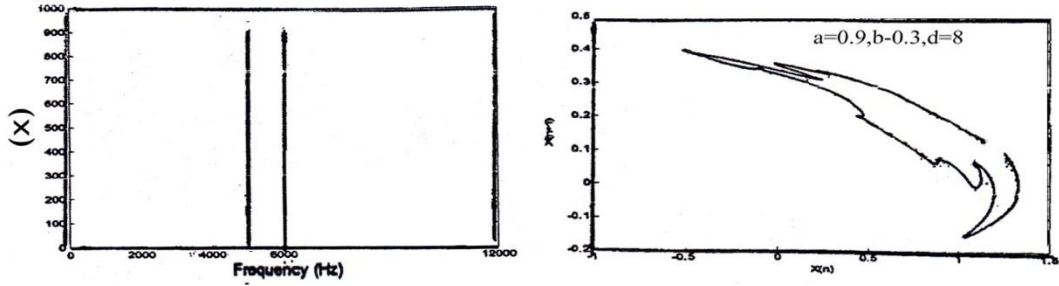
شكل رقم (6) جاذبات وطيف قدرة عندما $a=0.3, b=0.5, d=6$

$a=1.5, b=0.1, d=7$



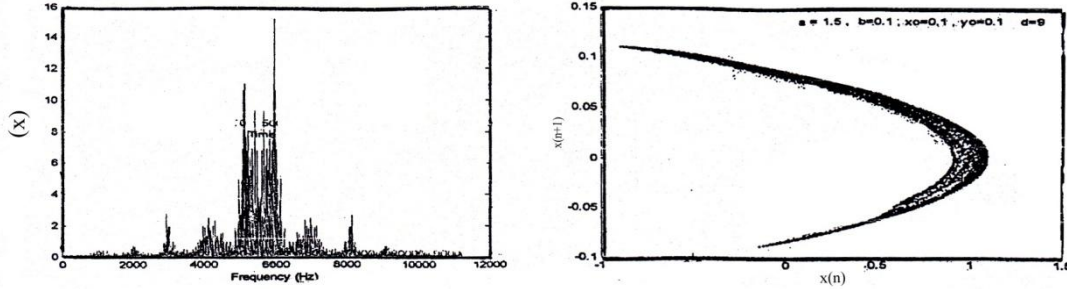
شكل رقم (7) جاذبات وطيف قدرة عندما $a=1.5, b=0.1, d=7$

$a=0.9, b=0.3, d=8$



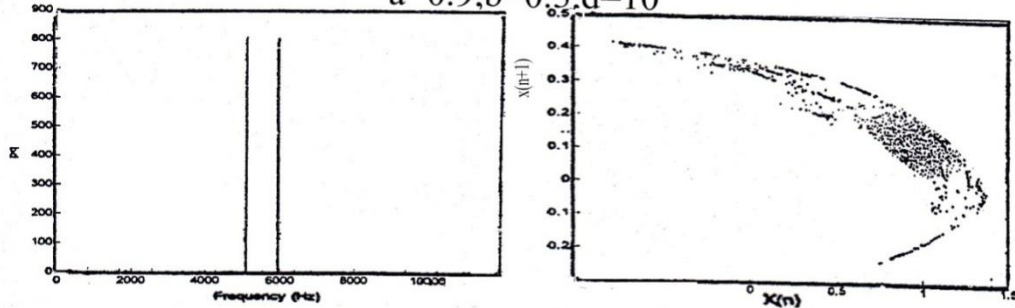
شكل رقم (8) جاذبات وطيف قدرة عندما $a=0.9, b=0.3, d=8$

$a=1.5, b=0.1, d=9$



شكل رقم (9) جاذبات وطيف قدرة عندما $a=1.5, b=0.1, d=9$

$a=0.9, b=0.3, d=10$



شكل رقم (10) جاذبات وطيف قدرة عندما $a=0.9, b=0.3, d=10$

Numerical study of high dimensional Henon system

¹Kahtan Adnan Hameed and ² H. A. Sultan

¹*Department of Machinery Agriculture, College of Agriculture*

²*Department of Physics, College of Education*
University of Basrah, Basrah , Iraq

Abstract:

This paper presents the numerical study of a generalized Henon system to show various types of dynamical behaviors using time series, attractor's as well as the spectral distribution of the main variable. Results indicated the generation of new types of attractors with severe instabilities.

key words : Henon map, Generalized Henon system, Attractors, Power spectra.